

*Письма в ЖЭТФ, том 20, вып. 7, стр. 503 – 507*

5 октября 1974 г.

## ДЕЛЕНИЕ ОРИЕНТИРОВАННЫХ ЯДЕР $U^{235}$

*Н.Н.Гонин, В.К.Горюнов, Л.К.Козловский  
Н.С.Работников, Ю.Я.Ставицкий, Д.И.Тамбовцев*

В работе приведены результаты измерений угловой анизотропии оскольков при делении ориентированных ядер  $U^{235}$  нейтронами тепловой энергии и  $E_n = 10, 50, 80, 100$  и  $150 \text{ кэв}$ . Для энергий нейронов  $50, 80$  и  $150 \text{ кэв}$  измерена также анизотропия на неориентированных ядрах. Результаты экспериментов сравниваются с данными других авторов. Данна интерпретация наблюдаемых анизотропий в рамках существующих модельных представлений деления ядер.

Интересным методом изучения каналовой структуры барьера деления являются исследования с ориентированными ядрами-мишени. Впервые эксперименты такого типа были выполнены Даббсом, Робертсом и др. [1], они заключались в исследовании реакции  $(n, f)$  под действием тепловых нейтронов на ядрах  $U^{235}$  и  $U^{233}$ , выстроенных в монокристалле уранил-рубидиевого нитрата (УРН) за счет электрического квадрупольного взаимодействия сверхтонкой структуры [2]. В дальнейшем эксперименты были продолжены с использованием нейтронов резонансных энергий и анализом данных, полученных для многих резонансов [3]. В улучшенных условиях опыты такого рода были выполнены также Паттенденом и Постмой [4].

Все перечисленные случаи относятся к делению  $s$ -нейтронами в интервале энергий от 0 до  $2 \text{ кэв}$ . Представляет интерес исследовать деление ориентированных ядер  $U^{235}$  нейтронами более высоких энергий, когда сравнимый вклад в сечение образования составного ядра дают также и  $p$ -нейтроны. При делении неориентированных ядер в этой области наблюдана небольшая отрицательная анизотропия разлета ос-

колков [ 5, 6]. Изменения в кинематике реакции, вносимые ориентацией ядер мишени, должны дать дополнительную информацию о свойствах переходных состояний ядра  $U^{236}$ .

В настоящей работе приводятся результаты измерений анизотропии разлета осколков при делении ядер  $U^{235}$ , ориентированных в кристалле УРН, нейtronами с энергией 10 – 150 кэв, при температуре кристалла 0,2°К. Охлаждение образца производилось методом адабатического размагничивания. Образец в виде пластинки толщиной  $\sim 1,5 - 2 \text{ мм}$ , вырезанной из монокристалла на основе естественного урана с нарошенным монокристаллическим слоем УРН с обогащенным ураном (90%  $U^{235}$ ) толщиной  $\sim 1 \text{ мкм}^2$  приклеивался к медному хладопроводу, имевшему тепловой контакт с блоком парамагнитной соли. Для намагничивания использовался сверхпроводящий соленоид. Температура подложки монокристалла измерялась угольным термометром сопротивления. Криостат, метод выращивания монокристаллов и приготовление образцов описаны более подробно в работе [ 7 ]. Источником нейтронов служила реакция  $Li(p, n)$  на ускорителе КГ-2,5 ФЭИ. Энергия нейтронов и их энергетический разброс рассчитывались по измеренному превышению над порогом с учетом толщины мишени и конечных размеров образца и мишени по кинематическим соотношениям [ 8 ].

$C$  – ось монокристалла, относительно которой наблюдается выстраивание ядер  $U^{235}$ , была ориентирована по направлению пучка нейтронов. Осколки деления регистрировались парой стекол, расположенных под углами "0" и "90°" к  $C$ -оси. После облучения стекла травились в растворе HF и следы осколков регистрировались под микроскопом. При обработке результатов вводились геометрические поправки на конечность размеров образца и детекторов, вычисленные в приближении равномерного распределения потока нейтронов по образцу и представления углового распределения соколков в виде  $W(\theta) = 1 + A_2 P_2(\cos \theta)$ .

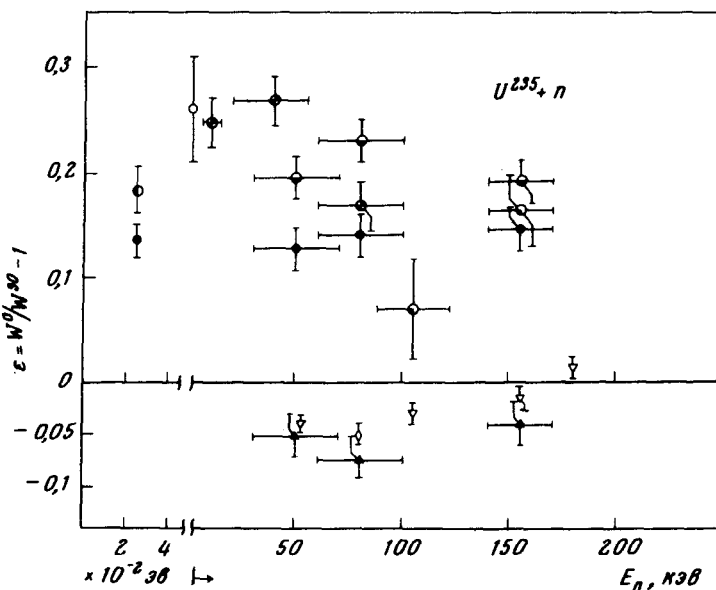
Результаты эксперимента представлены на рисунке . Измерения велись параллельно для выстроенных и не выстроенных ядер, и для ряда значений энергий в неизменных условиях эксперимента снималась также тепловая точка. Такой полный опыт позволяет получить как "эффект выстраивания", т. е. вклад, обусловленный выстроенностю ядер мишени, так и абсолютные значения анизотропий осколков на выстроенных ядрах мишени и не выстроенных. Эти три рода данных и представлены на рисунке.

Выражение для углового распределения осколков можно представить в виде

$$\frac{d\sigma}{d\Omega}(E_n, T, \theta) = \\ = \frac{\pi^2}{4} \sum_{l, N=0, 2, 4, \dots, J, \pi} T_l^{J\pi}(E_n) \sum_k F_N^{J\pi k}(T) \gamma^{J\pi k}(E_n) P_n(\cos \theta)$$

$T_l^{J\pi}(E_n)$  – коэффициенты нейтронной проницаемости,  $\gamma^{J\pi k}$  – делимость составного ядра с заданными квантовыми числами:  $J$  – момент коли-

чества движения составного ядра,  $K$  – его проекция на направление деления,  $\pi$  – четность,  $P_N(\cos \theta)$  – полином Лежандра. Вклад каждого парциального состояния  $J\pi K$  определяется значением соответствующего кинематического коэффициента  $F_N^{J\pi k}(T)$ . Эти коэффициенты, рассчитанные для состояний положительной четности, образующихся при захвате ядром  $U^{235}$  ( $J^\pi = 7^-/2$ )  $p$ -нейтрона, приведены в таблице и являются удобной основой для обсуждения результатов измерений.



Полученные данные для невыстроенных ядер согласуются с результатами работ [5, 6], подтверждая наличие небольшой отрицательной анизотропии; для выстроенных же ядер анизоропия положительна и примерно постоянна. Данные таблицы показывают, что наиболее естественно оба эти факта можно объяснить, предположив, что деление состояний положительной четности при рассматриваемых энергиях проходит, главным образом, через коллективные переходные состояния  $K'' = 0^+$ . Поскольку при этом состояния с моментами  $J'' = 3^+$  и  $5^+$  для данной полосы запрещены по четности, то анизотропия будет определяться конкуренцией вкладов состояний  $J'' = 2^+$  и  $4^+$ . При наличии выстроенности ядер мишени оба эти состояния, как видно из таблицы, дают положительную анизотропию, а при отсутствии выстроенности состояние  $J'' = 4^+$  – отрицательную, причем заметно большую по абсолютной величине, чем вклад состояния  $J'' = 2^+$ .

Кроме того оценки показывают, что анизотропия при делении ориентированных ядер оказывается более чувствительной по сравнению с анизотропией неориентированных ядер к изменению соотношения вкладов  $s$ - и  $p$ -волн. Поэтому ее величина может послужить критерием уточнения этого соотношения для рассматриваемой области энергий нейтронов.

Значения кинематических коэффициентов  $F_2^{J\pi K}(T)$   
 в отсутствие и при наличии выстроенности  
 ядер мишени для состояний положительной четности  
 образованных при захвате ядер  $U^{235}$  ( $I_o^\pi = \frac{7}{2}^-$ )  $p$ -нейтронов

		Ядра мишени не выстроены	Ядра мишени выстроены ( $T = 0,2K$ )
$2^+$	0	+ 0,09	+ 0,166
	1	- 0,09	- 0,166
	2	- 0,18	- 0,332
$3^+$	0	Запрет по четности	
	1	- 0,44	+ 0,031
	2	0	0
	3	+ 0,733	- 0,052
$4^+$	0	- 0,161	+ 0,233
	1	- 0,273	+ 0,395
	2	- 0,129	+ 0,186
	3	+ 0,113	- 0,163
	4	- 0,45	- 0,651
$5^+$	0	Запрет по четности	
	1	+ 0,824	- 1,189
	2	+ 0,55	+ 0,794
	3	- 0,09	+ 0,132
	4	- 0,55	- 0,794
	5	- 1,374	- 1,983

В заключение считаем приятным долгом выразить признательность  
 Г.Н.Смирекину за полезные обсуждения.

Поступила в редакцию  
 6 августа 1974 г.

### Литература

- [1] L.D.Raberts, J.W.T.Dabbs, et al. Proceed. Intern. Conf. on Nucl. Struct., Kingston, 1960.
- [2] R.V.Pound. Phys. Rev., 76, 1410, 1949.
- [3] J.W.T.Dabbs et al. II IAEA Symp. on Phys. and Chem. of Fission, Vienna, 1969, SM-122/123.

- [4] N.J.Pattenden, H.Postma, Nucl. Phys., A-167, 225, 1971.
  - [5] В.Г.Нестеров, Г.Н.Смирекин. ЯФ, 4, 399, 1966.
  - [6] Г.Н.Смирекин, Д.Л.Шпак, Ю.Б.Остапенко, Б.И.Фурсов. Письма в ЖЭТФ, 11, 489, 1970.
  - [7] Н.Н.Гонин, Л.К.Козловский, Д.И.Тамбовцев. ПТЭ, №1, 1974.
  - [8] Физика быстрых нейтронов, Атомиздат, 1, 1963.
-